

# **ВЛИЯНИЕ БЕСПОРЯДКА НА ЛОКАЛИЗАЦИОННЫЕ СВОЙСТВА ЩЕЛЕВЫХ ГРАФЕНОВЫХ СВЕРХРЕШЕТОК**

Е.С. Азарова, Г.М. Максимова

*кафедра теоретической физики  
ННГУ им. Н.И. Лобачевского*

*XIV Школа-конференция молодых ученых  
«Проблемы физики твердого тела и высоких давлений», 2015*

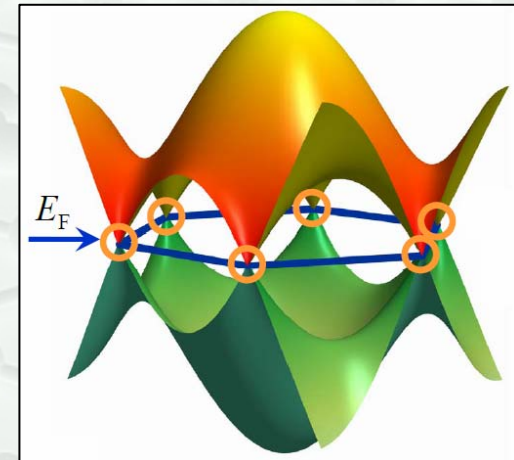
# Графен

$$\mu \approx 2 \cdot 10^5 \frac{cm^2}{B \cdot c}$$

— подвижность носителей

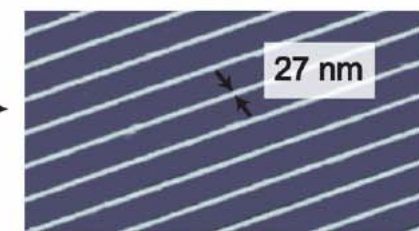
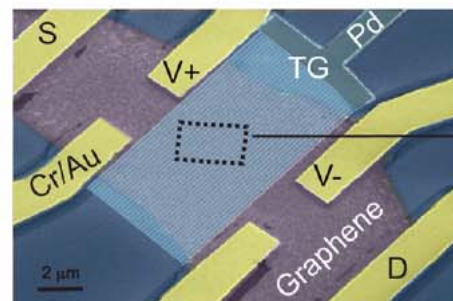
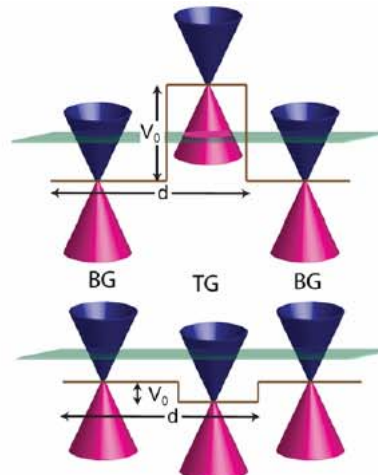
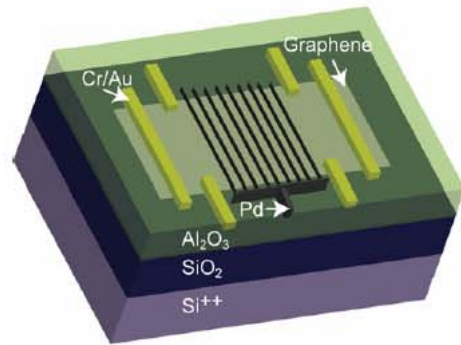
$$E = \pm v_F |\vec{p}|, \quad v_F \approx 10^8 cm/c$$

$$\hat{H} \psi(x, y) = E \psi(x, y), \quad \hat{H} = v_F (\sigma_x \hat{p}_x + \sigma_y \hat{p}_y)$$



## Сверхрешетка на основе графена

S. Dubey et.al., Nano Lett. **13**, 3990 (2013) - эксперимент



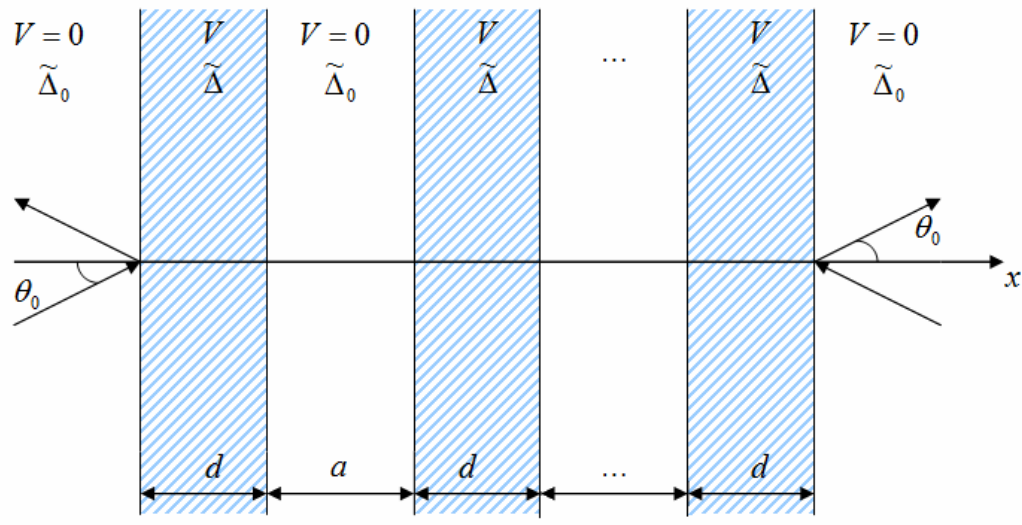
СР: модулированная энергетическая щель + внешний эл./ст. потенциал (теория):

G.M.Maksimova, E.S.Azarova, A.V.Telezhnikov, V.A.Burdov, Phys. Rev. B **86**, 205422 (2012).

E.S.Azarova, G.M.Maksimova, Physica E **61**, 118 (2014).

E.S.Azarova, G.M.Maksimova, Physica E **74**, 1 (2015).

# Модель



$$\hat{H} = v_F (\sigma_x \hat{p}_x + \sigma_y \hat{p}_y) + V(x) \sigma_0 + \tilde{\Delta}(x) \sigma_z$$

$$V(x), \tilde{\Delta}(x) = \begin{cases} V, \tilde{\Delta} & \text{for } 0 < x < d, \\ 0, \tilde{\Delta}_0 & \text{for } d < x < l \end{cases}$$

$$\tilde{\Delta}_0 = \tilde{\Delta} - OCP$$

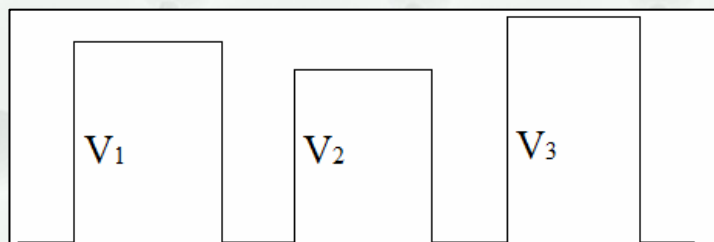
$$\tilde{\Delta}_0 = 0, \tilde{\Delta} \neq 0 - HCP$$

Безразмерные параметры:  $\frac{El}{\hbar v_F} \rightarrow \varepsilon$ ,  $\frac{Vl}{\hbar v_F} \rightarrow v$ ,  $\frac{\tilde{\Delta}l}{\hbar v_F} \rightarrow \Delta$ ,  $a/l \rightarrow a$ ,  $d/l \rightarrow d$

## Неупорядоченная мультибарьерная структура

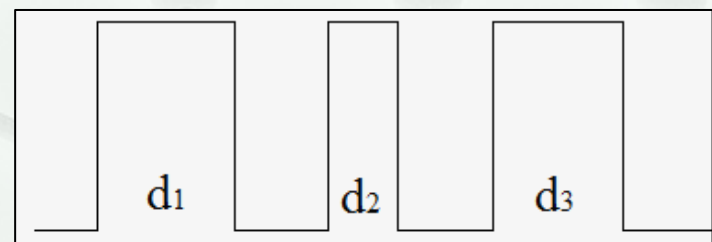
Энергетический беспорядок:

$$v_i = v(1 + \rho_i^v), \quad \Delta_i = \Delta(1 + \rho_i^\Delta)$$



Позиционный беспорядок:

$$a_i = a(1 + \rho_i^a), \quad d_i = d(1 + \rho_i^d)$$



где  $\rho_i^s \in [-\delta; \delta]$      $\sigma_s^2 \ll 1$ ,  $s = v, \Delta, a, d$

## Длина локализации

$L_{loc} = l / \gamma$  – длина локализации

$\gamma = -\lim_{N \rightarrow \infty} \left\langle \frac{\ln T_N}{2N} \right\rangle$  – показатель Ляпунова (обратная длина локализации)

$T = |t|^2 = |\hat{M}_{22}|^{-2}$  – коэффициент прохождения через систему

$\hat{M} = \prod_i S_i$  – матрица переноса

Разложение трансфер-матрицы:

$$S_i = S + \varepsilon_i S' + \frac{\varepsilon_i^2}{2} S'' + O(\varepsilon_i^3) \quad (\text{Q. Zhao, J. Gong, Phys. Rev. B } \mathbf{85}, 104201 (2012).)$$

$$\gamma_s = \frac{s^2 \sigma_s^2}{2} \tan^2 \varphi \left[ p'^2 + \left( \frac{\sin m}{\sin \varphi} \right)^2 \frac{\tan^2 \varphi}{\sin^2 \eta} \right] \quad \text{– разрешенные зоны}$$

$$\sigma_s^2 \ll 1$$

$\cos \eta = \cos \alpha \cos \beta + f \sin \alpha \sin \beta$  – дисперсионное уравнение,

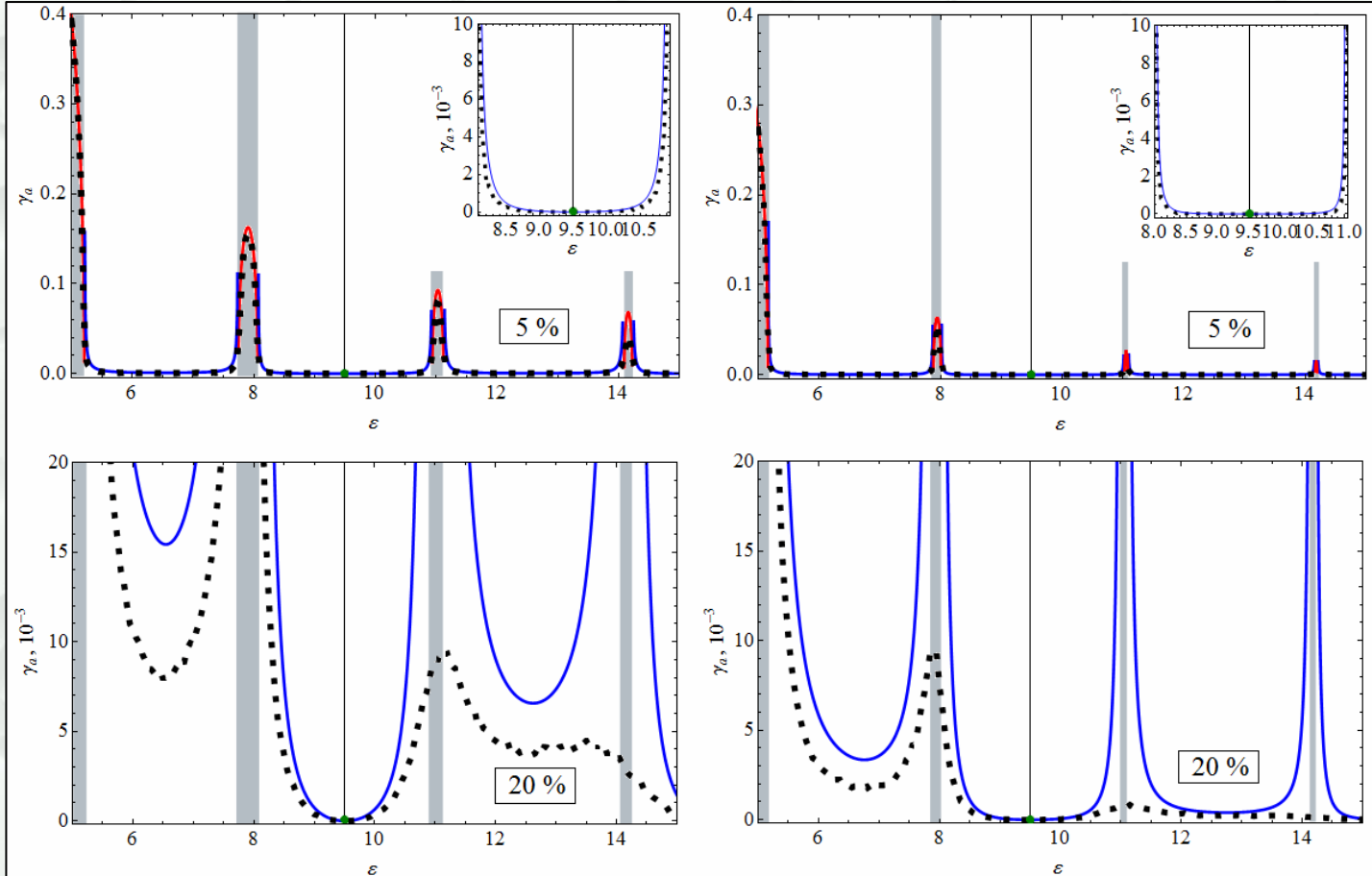
$$f = \frac{\varepsilon v - k_x^2}{k_x q_x}, \quad \alpha = k_x a, \quad \beta = q_x d$$

$\gamma_s = \ln \lambda_+$  – запрещенные зоны

# Позиционный беспорядок

$$\gamma_{a,d} = (f^2 - 1) \frac{\alpha^2 \sigma_a^2 \sin^2 \beta + \beta^2 \sigma_d^2 \sin^2 \alpha - 2\alpha\beta\sigma_{ad} \sin \alpha \sin \beta \cos \eta}{2 \sin^2 \eta}$$

Флуктуации межбарьерного расстояния:  $\sigma_a^2 = \delta^2 / 3$ ,  $\sigma_d^2 = \sigma_{ad} = 0$   
**HCP:** **OCP:**



$$T_N = \left[ 1 + (f^2 - 1) \sin^2 \beta \cdot \frac{\sin^2 N\eta}{\sin^2 \eta} \right]^{-1}, \quad \sin \beta = 0 \Rightarrow T = 1 - \text{резонансы Фабри - Перо}$$

Параметры :  
 $N = 10^3$   
 $\theta_0 = 0$   
 $a = d = 0.5$   
 $v = \pi$   
 $\Delta = \pi / 3$   
 $n = 80$

Делокализационные резонансы :

$$\gamma_a = 0 \Rightarrow \sin \beta = 0$$

G.A. Luna-Acosta, F.M. Izrailev, N.M. Makarov, U. Kuhi, H.-J. Stöckmann, Phys. Rev. B **80**, 115112 (2009) – эксперимент

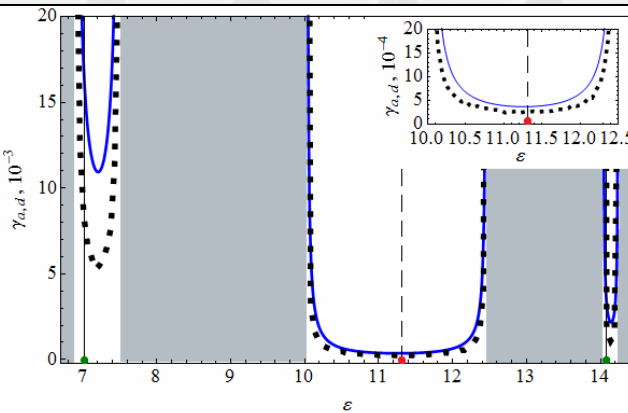
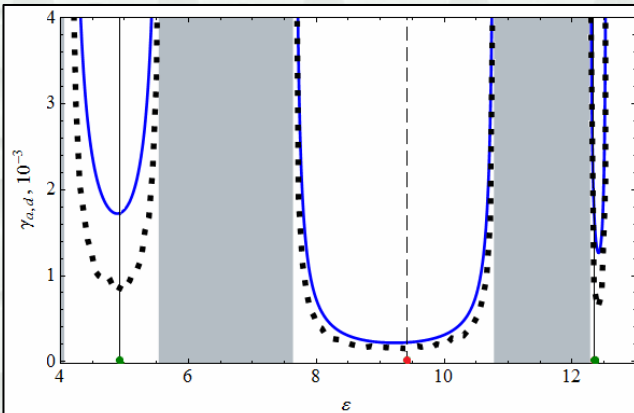


Флуктуации межбарьерного расстояния и барьера ширины :  $\sigma_a^2 = \sigma_d^2 = \delta^2 / 3$

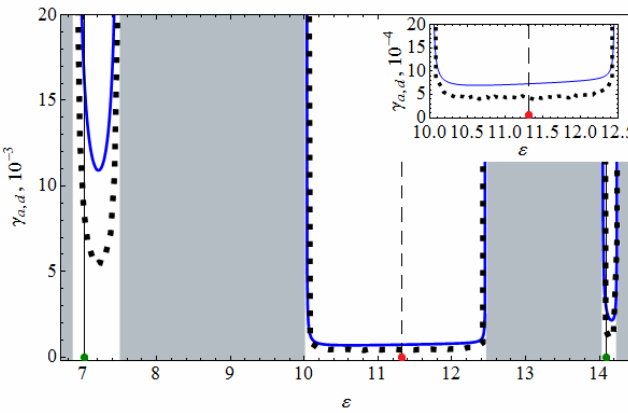
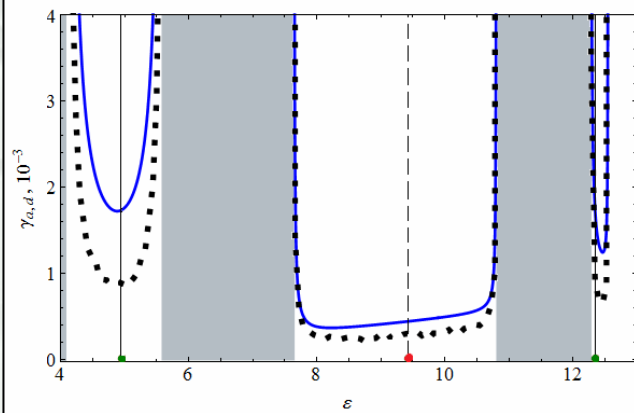
HCP:

OCP:

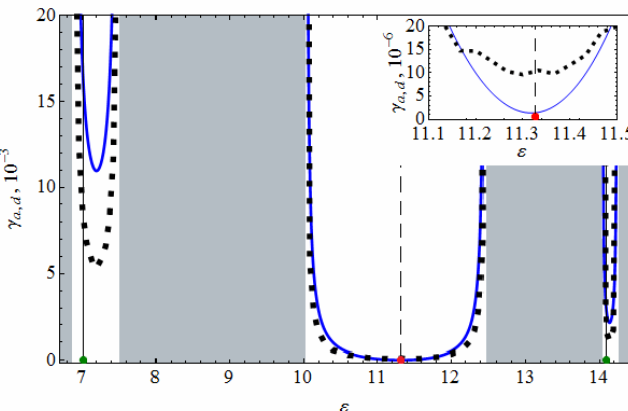
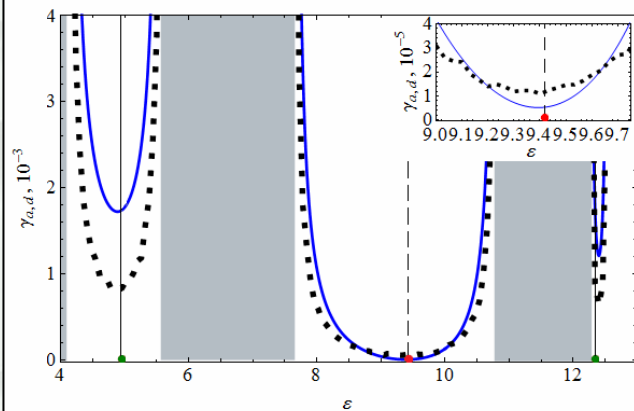
$$\sigma_{ad} = 0$$



$$\sigma_{ad} = \frac{\delta^2}{3}$$



$$\sigma_{ad} = -\frac{\delta^2}{3}$$



Параметры :

$$\delta = 0.5\%$$

$$N = 5 \cdot 10^3$$

$$\cos \theta_0 = 2/3$$

$$a = d = 0.5$$

$$\nu = 8\pi - HCP$$

$$\nu = (5 + \sqrt{13})\pi$$

-OCP

$$\Delta = 2\pi$$

$$n = 100$$

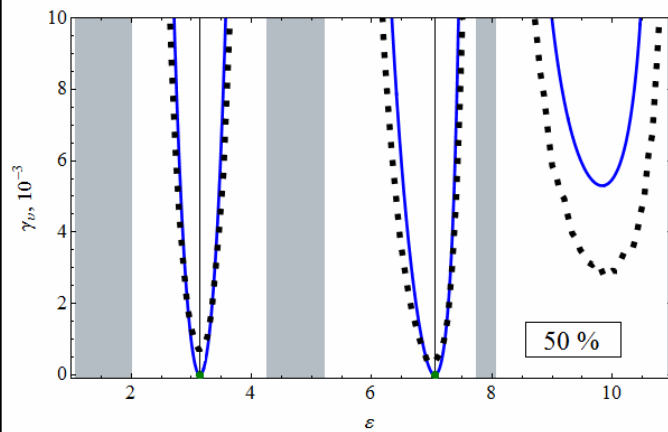
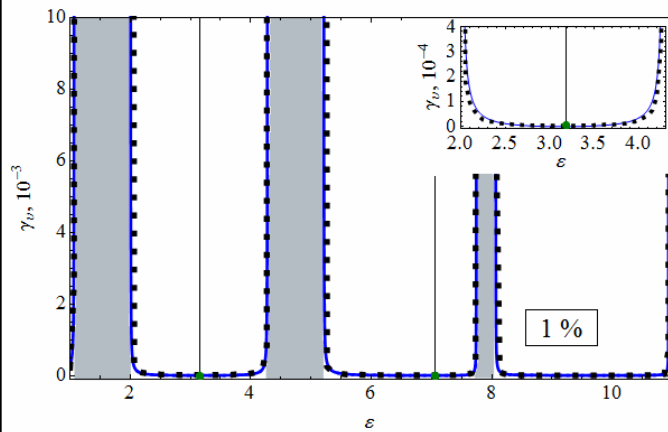
# Энергетический беспорядок

Флуктуации внешнего потенциала:  $\sigma_v^2 = \delta^2 / 3$

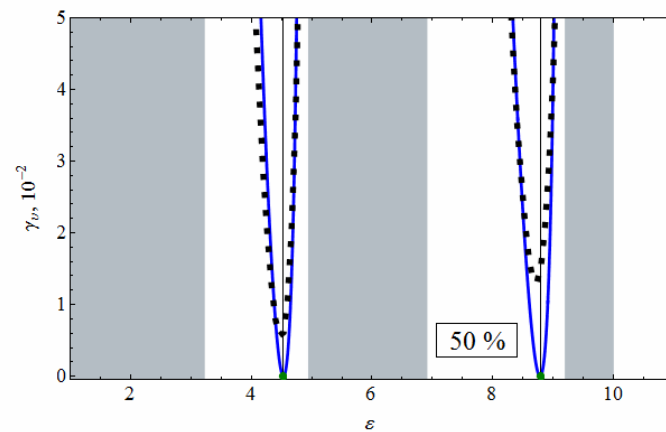
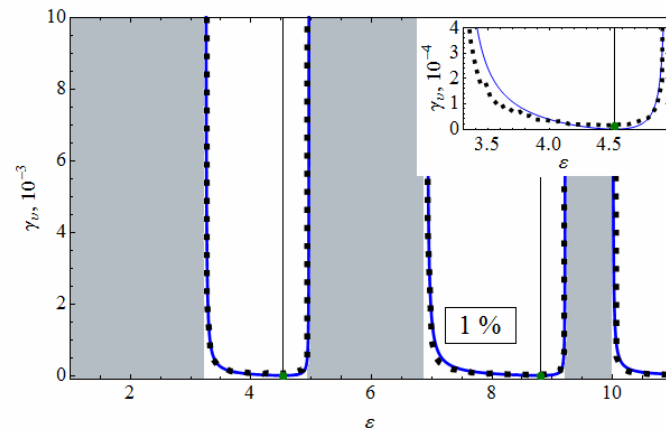
$$\gamma_v^{MSL} = \frac{v^2 \sigma_v^2}{2q_x^2} \left[ \frac{k_y^2 \Delta^2 \sin^2 \beta}{S} + \frac{S(F^M \sin \alpha + G^M \cos \alpha)^2}{k_x^2 q_x^2 \sin^2 \eta} \right] - HCP$$

$$\gamma_v^{HSL} = \frac{v^2 \sigma_v^2 (k_y^2 + \Delta^2)}{2k_x^2 q_x^2 \sin^2 \eta} (F^H \sin \alpha + G^H \cos \alpha)^2 - OCP$$

**HCP:**



**OCP:**



Параметры :

$$N = 5 \cdot 10^3$$

$$\theta_0 = 0 - HCP$$

$$\theta_0 = \pi / 6 - OCP$$

$$a = d = 0.5$$

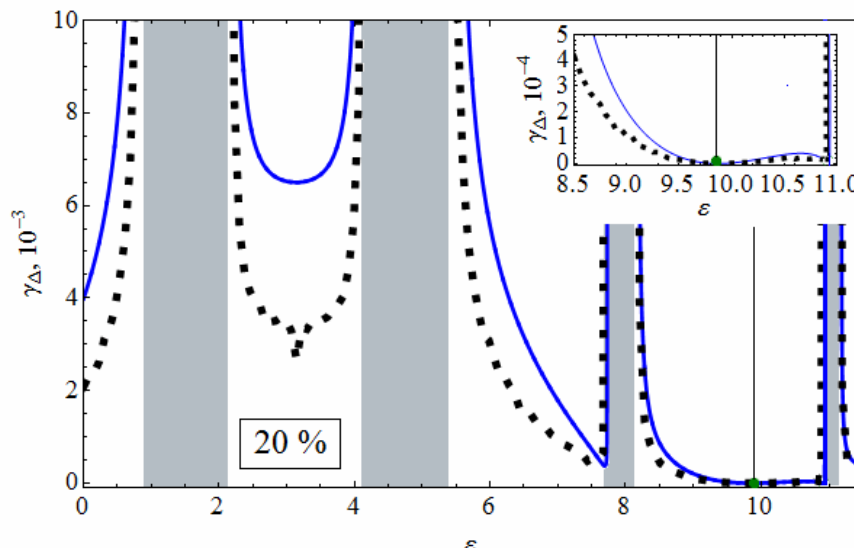
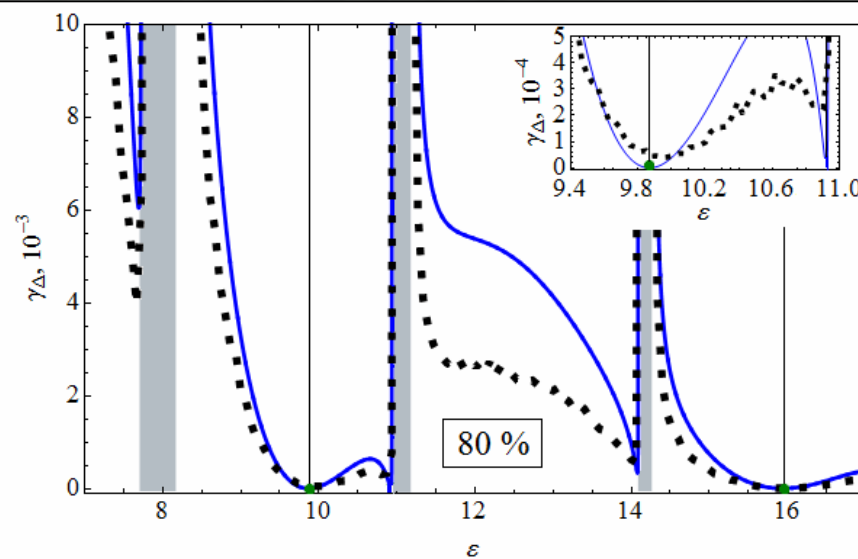
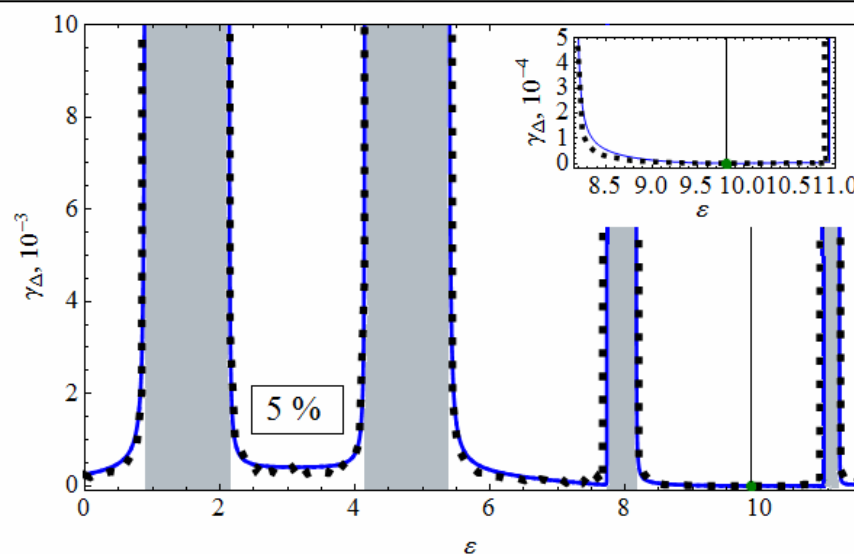
$$v = \pi$$

$$\Delta = \pi / 3$$

$$n = 80$$

# Флуктуации энергетической щели: $\sigma_{\Delta}^2 = \delta^2 / 3$

$$\gamma_{\Delta}^{MSL} = \frac{\Delta^2 \sigma_{\Delta}^2 \sin^2 \beta}{2q_x^2 S} \left[ \frac{\Delta^2 \sin^2 \beta}{k_x^2 q_x^2 \sin^2 \eta} (F_{\Delta} \sin \alpha + G_{\Delta} \cos \alpha)^2 + v^2 k_y^2 \right] - HCP$$



**HCP**

*Параметры :*

$$N = 5 \cdot 10^3 (2 \cdot 10^4 - вставка)$$

$$\theta_0 = 0$$

$$a = d = 0.5$$

$$v = \pi, \Delta = 4\pi/9$$

$$n = 100$$

## **Выводы:**

1. Получено аналитическое выражение для обратной длины локализации (показателя Ляпунова) для щелевых графеновых сверхрешеток в приближении слабого беспорядка.
2. Делокализационные резонансы, связанные с флюктуациями ширины барьера (межбарьерной области) устойчивы к возрастанию степени беспорядка.
3. Основной эффект корреляций, который заключается в изменении длины локализации, проявляется вблизи двойных резонансов.
4. Делокализационные резонансы, обусловленные энергетическим беспорядком, являются приближенными в отличие от резонансов Фабри-Перо.
5. Для массивных дираковских частиц (однородная сверхрешетка) в случае флюктуаций высоты барьеров резонансные условия могут быть выполнены при произвольных углах падения, в то время как в структурах с неоднородной щелью делокализация возможна только для нормально падающих частиц.

**СПАСИБО ЗА ВНИМАНИЕ!**



# **ПРИЛОЖЕНИЕ**

## References:

- [1] C.-H. Park,L.Yang,Y.-W.Son,M.L.Cohen,S.G.Louie,Nat.Phys.4(2008)213.
- [2] L. Brey,H.A.Fertig,Phys.Rev.Lett.103(2009)046809.
- [3] M. Barbier,P.Vasilopoulos,F.M.Peeters,Phys.Rev.B81(2010)075438.
- [4] L. Dell'Anna,A.DeMartino,Phys.Rev.B79(2009)045420.
- [5] V.Q. Le,C.H.Pham,V.L.Nguyen,J.Phys.Condens.Matter24(2012)345502.
- [6] D.P.Arovas,L.Brey,H.A.Fertig,E.-A.Kim,K.Zeigler,NewJ.Phys.12(2010) 123020.
- [7] M. Esmailpour, et. al.,SolidStateCommun.150(2010)655.
- [8] S. Dubey,et.al.,NanoLett.13(2013)3990.
- [9] Li-Gong Wang,XiChen,J.Appl.Phys.109(2011)033710.
- [10] Y.-W.Son,M.L.Cohen,S.G.Louie,Phys.Rev.Lett.97(2006)216803.
- [11] M.Y.Han,B.Özyilmaz,Y.Zhang,P.Kim,Phys.Rev.Lett.98(2007)206805.
- [12] Q. Yan et. al.,Nano Lett. 7(2007)1469.
- [13] W.Apel,G.Pal,L.Schweitzer,Phys.Rev.B83(2011)125431.
- [14] G. Gui,J.Li,J.Zhong,Phys.Rev.B78(2008)075435.
- [15] V.M. Pereira,A.H.CastroNeto,N.M.R.Peres,Phys.Rev.B80(2009)045401.
- [16] R.M. Ribeiro,N.M.R.Peres,J.Coutinho,P.R.Briddon,Phys.Rev.B78(2008) 075442.
- [17] G. Giovanetti et. al.,Phys.Rev. B 76(2007)073103.
- [18] S.Y.Zhou,et.al.,Nat.Mater.6(2007)770.
- [19] Di Xiao,Gui-BinLiu,W.Feng,X.Xu,WangYao,Phys.Rev.Lett.108(2012) 196802.
- [20] Xiao Li,FanZhang,QianNiu,Phys.Rev.Lett.110(2013)066803.
- [21] N.M.R. Peres,J.Phys.Condens.Matter21(2009)095501.
- [22] Viana Gomes,N.M.R.Peres,J.Phys.Condens.Matter20(2008)325221.
- [23] G. Giavaras,F.Nori,Appl.Phys.Lett.97(2010)243106.

- [24] P.V.Ratnikov,A.P.Silin,Phys.SolidState52(2010)1763.
- [25] G.M. Maksimova et.al.,Phys.Rev.B86 (2012)205422.
- [26] E.S. Azarova,G.M.Maksimova,PhysicaE61(2014)118.
- [27] H.A. Fertig,L.Brey,Phys.Trans.R.Soc.368(2010)5483.
- [28] K. Nomura,M.Koshino,S.Ruy,Phys.Rev.Lett.99(2007)146806.
- [29] Shi-Liang Zhu,Dan-WelZhang,Z.D.Wang,Phys.Rev.Lett.102(2009)210403.
- [30] Yu.P.Bliokh,V.Freilikher,S.Savel'ev,F.Nori,Phys.Rev.B79 (2009)075123.
- [31] N. Abedpour,A.Esmailpour,R.Asgari,M.Reza,R.Tabar,Phys.Rev. B 79(2009)165412.
- [32] Qifang Zhao,JiangbinGong,CordA.Müller,Phys.Rev.B85(2012)104201.
- [33] AyoubEsmailpour,FatemehPakdel,RaziehJahanaray,PhysicaE54(2013)214.
- [34] P.Marcoš, CostasM.Soukoulis,PrincetonUniversityPress,Princeton, 2008.
- [35] M.I. Katsnelson,K.S.Novoselov,A.K.Geim,Nat.Phys.2(2006)620.
- [36] J. MiltonPereiraJr.,P.Vasilopoulos,F.M.Peeters,Appl.Phys.Lett.90(2007) 132122.
- [37] A.V.Shytov,M.S.Rudner,L.S.Levitov,Phys.Rev.Lett.101(2008)156804.
- [38] M. RamezaniMasir,P.Vasilopoulos,F.M.Peeters,Phys.Rev.B82(2010) 115417.
- [39] G.A. Luna-Acosta et.al.,Phys. Rev.B80(2009)115112.
- [40] D. Mogilevtsev et.al., Phys.Rev.B84(2011)094204.

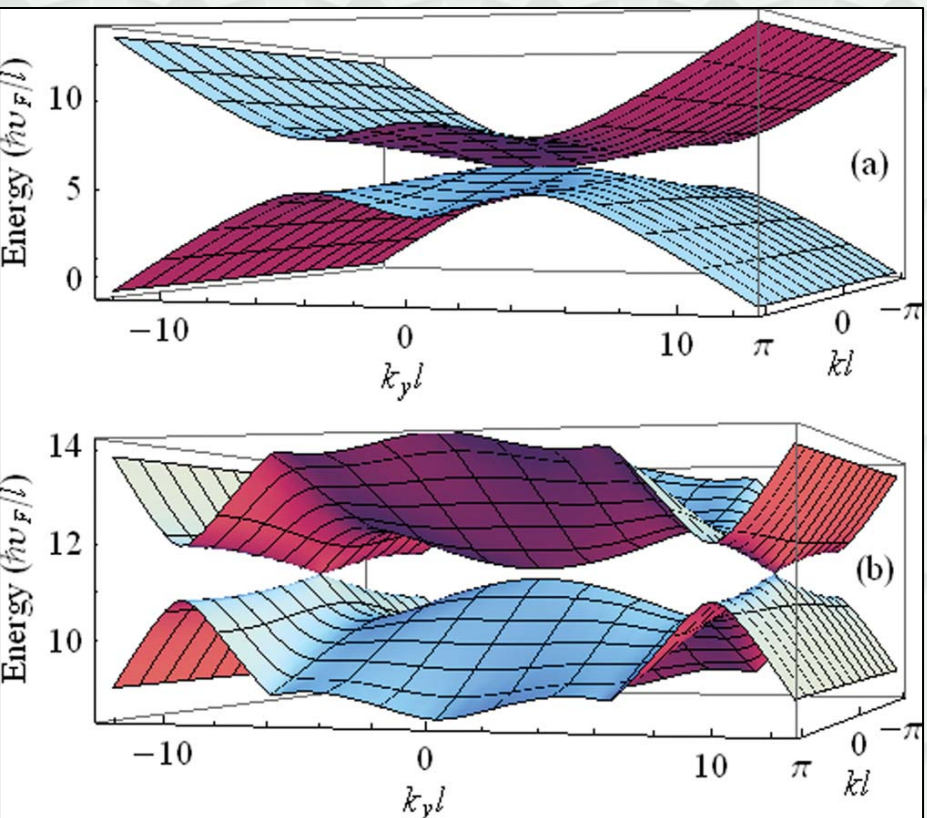
## Волновой вектор

$$\alpha = k_x a, \quad \beta = q_x d$$

| HCP   | OCP  |
|---|--|
| $k =  \varepsilon , \quad k_x =  \varepsilon  \cos \theta_0$  | $k = \sqrt{\varepsilon^2 - \Delta^2}, \quad k_x = \sqrt{\varepsilon^2 - \Delta^2} \cos \theta_0$   |
| $q = \sqrt{(\varepsilon - \nu)^2 - \Delta^2},$<br>$q_x = \sqrt{(\varepsilon - \nu)^2 - \Delta^2 - \varepsilon^2 \sin^2 \theta_0}$ | $q = \sqrt{(\varepsilon - \nu)^2 - \varepsilon^2 + \Delta^2},$<br>$q_x = \sqrt{(\varepsilon - \nu)^2 - \Delta^2 - (\varepsilon^2 - \Delta^2) \sin^2 \theta_0}$ |

# Спектр ГСР с периодически модулированной щелью

$$E_0 = \frac{V^2 - \Delta^2}{2V} \quad k_{y_n} = \frac{1}{l} \sqrt{\left( \frac{E_0 l}{\hbar v_F} \right)^2 - (2\pi n)^2} \quad V_n = \frac{\pi n \hbar v_F}{d} + \sqrt{\left( \frac{\pi n \hbar v_F}{d} \right)^2 + \Delta^2}$$



$$a = d = 30 \text{ nm}$$

$$\Delta = 26.5 \text{ meV}$$

$$V = 143.26 \text{ meV}$$

$$\varepsilon = \frac{\delta^4 (k_y l)^2}{4\pi u_c^2 (1+3\delta^2)} \pm \sqrt{\frac{(ql)^2}{1+3\delta^2} + \frac{1+3\delta^2 + \delta^6/u_c^3}{(1+3\delta^2)^2} \cdot \frac{\delta^2 (k_y l)^4}{(4\pi)^2 u_c}}$$

$$a = d = 30 \text{ nm}$$

$$\Delta = 26.5 \text{ meV}$$

$$V = 165.15 \text{ meV}$$

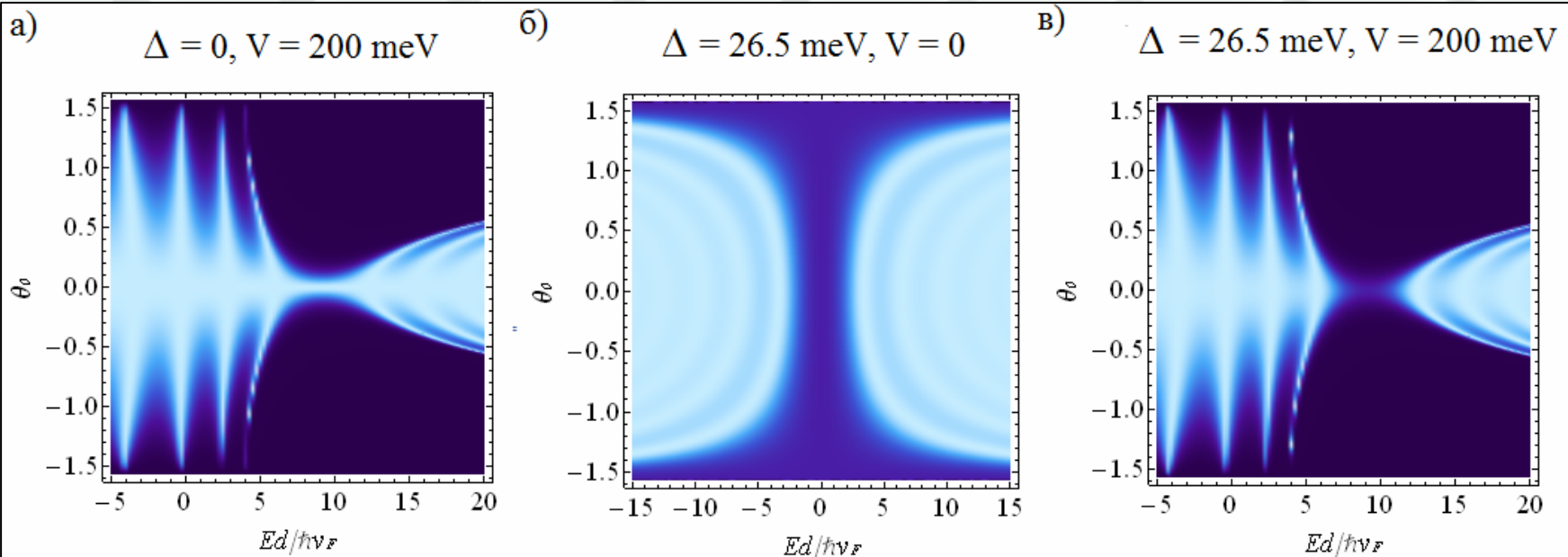
$$\varepsilon = \beta \tilde{k}_y l \pm \sqrt{\alpha^2 (ql)^2 + (\beta^2 + \gamma^2)(\tilde{k}_y l)^2}$$

# Коэффициент прозрачности однобарьерной структуры

$$T(E, \theta_0) = \left( 1 + \frac{\sin^2 k_x d}{(\hbar v_F k_x)^2} \frac{\Delta^2 \cos^2 \theta_0 + V^2 \sin^2 \theta_0}{\cos^2 \theta_0} \right)^{-1}$$

$$k_x = \frac{\sqrt{(E - V)^2 - \Delta^2 - E^2 \sin^2 \theta_0}}{\hbar v_F}$$

$d = 30 \text{ nm}$



$\Delta = 0, V \neq 0$ : M.I. Katsnelson, K.S. Novoselov, A.K. Geim, Nat. Phys. **2** 620 (2006).

$\Delta \neq 0, V = 0$ : J.V. Gomes, N.M.R. Peres, J. Phys.: Condens. Matter **20** 325221 (2008).

$\Delta \neq 0, V \neq 0$ : E.S. Azarova, G.M. Maksimova, Physica E **61**, 118 (2014).

# Рассеяние дираковских частиц двухбарьерным потенциалом

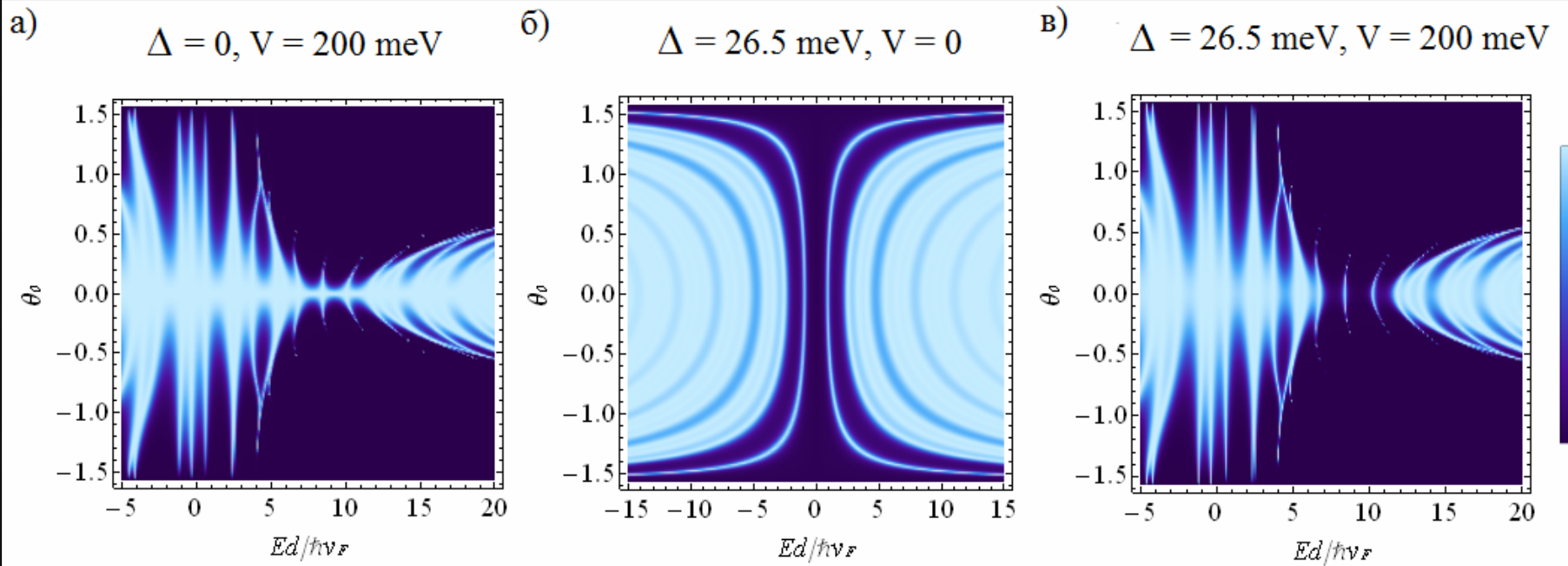


Рис. 17. Коэффициент прохождения квазичастиц через два потенциальных барьера при  $a = d = 30 \text{ nm}$ .

## Энергетическая щель

| Материал      | $E_g$ , эВ |
|---------------|------------|
| <u>Графен</u> | 0          |
| Si            | 1.12       |
| Ge            | 0.67       |
| GaAs          | 1.42       |

## Подвижность носителей

| Материал      | $\mu$ , см <sup>2</sup> /(В·с) |
|---------------|--------------------------------|
| <u>Графен</u> | $2 \cdot 10^5$                 |
| Si            | 1400                           |
| Ge            | 3900                           |
| GaAs          | 8500                           |

## Удельное сопротивление

| Материал      | $\rho$ , Ом/см      |
|---------------|---------------------|
| <u>Графен</u> | $1 \cdot 10^{-6}$   |
| Ag            | $1.5 \cdot 10^{-6}$ |
| Cu            | $1.7 \cdot 10^{-6}$ |

## Коэффициент теплопроводности

| Материал      | $\lambda$ , Вт/(м·К) |
|---------------|----------------------|
| <u>Графен</u> | 5000                 |
| Ag            | 430                  |
| Cu            | 400                  |
| Al            | 210                  |

## Прочность и упругость

| Материал | $E, \text{ Па}$   |
|----------|-------------------|
| Графен   | $1 \cdot 10^{12}$ |
| Ir       | $520 \cdot 10^9$  |
| W        | $350 \cdot 10^9$  |
| Cr       | $300 \cdot 10^9$  |